

$t_0 = 29$  с;  $\dot{Q}_l = 25$  °C;  $\dot{Q}_a = 240$  °C. Для диска, изготовленного из стали 45 НВ 415,  $a_1 = 1,3 \cdot 10^{-5}$  м<sup>2</sup>/с;  $a_2 = 6,7 \cdot 10^{-8}$  м<sup>2</sup>/с;  $\lambda_1 = 4,5 \cdot 10^1$  Вт/(м·°C);  $\lambda_2 = 5,1 \cdot 10^{-1}$  Вт/(м·°C);  $c_1 = 461$  Дж/(кг·°C);  $c_2 = 963$  Дж/(кг·°C);  $\sigma_1 = 44$  Вт/(м<sup>2</sup>·°C);  $\sigma_2 = 8$  Вт/(м<sup>2</sup>·°C). Для диска, изготовленного из серого чугуна СЧ 15-32 НВ 200,  $a_1 = 1,7 \cdot 10^{-5}$  м<sup>2</sup>/с;  $\lambda_1 = 6,3 \cdot 10^1$  Вт/(м·°C);  $c_1 = 502$  Дж/(кг·°C);  $\sigma_1 = 44$  Вт/(м<sup>2</sup>·°C). Тогда максимальная температура в конце третьего торможения на поверхности трения тормозного диска из стали 45 НВ 415  $\dot{Q}_l = 198$  °C, а на поверхности трения тормозного диска из серого чугуна СЧ 15-32 НВ 200 –  $\dot{Q}_l = 206$  °C. Таким образом, с учетом зависимостей, приведенных в работе [7], в специфических шахтных условиях в конце третьего торможения до полной остановки максимальная температура на поверхности трения многосекторного диска не превысит допустимое значение.

### Выводы

1. На основе математического моделирования рациональных параметров основных элементов дискового тормоза шахтного локомотива с многосекторным тормозным диском определены максимальная температура и наибольшее давление на его рабочей поверхности.

2. Установлено, что при выбранных параметрах дискового тормоза с многосекторным диском в специфических шахтных условиях в конце третьего торможения до полной остановки максимальная температура на поверхности трения составит не более 206°C, т.е. не превысит допустимое значение.

### Список литературы

1. Проців В.В. Формування динамічної моделі шахтного шарнірно-зчленованого локомотива, що рухається в режимі гальмування [Текст] / В.В. Проців // Наук. віsn. НГУ. – 2009. – № 4. – С. 76–83.
2. Александров М.П. Грузоподъемные машины [Текст]: учебн. [для студ. высш. учебн. зав.] / М.П. Александров – М.: Высш. шк., 2000. – 552 с.
3. Проців В. В. Динамічна модель гальмівних систем, що реалізовують гальмівну силу в контакті колеса та рейки [Текст] / В. В. Проців, О. Є. Гончар // Зб. наук. праць НГУ. – 2010. – № 34. – Т. 2. – С. 160 – 171.
4. Белобров В.И. Тормозные системы шахтных подъемных машин [Текст] / В.И. Белобров, В.Ф. Абрамовский, В.И. Самуся – К.: Наук. думка, 1990. – 176 с.
5. Моня А.Г. Выбор рациональных параметров дискового тормоза шахтного локомотива с многосекторным тормозным диском [Текст] / А.Г. Моня // Гірн. електромеханіка та автоматика: наук.-техн. зб. – 2003. – Вип. 71. – С. 75–82.
6. Проців В.В. Экспериментальное определение характеристик сцепления шахтного локомотива в режиме торможения [Текст] / В.В. Проців, А.Г. Моня // Геотехн. механіка: міжвід. зб. наук. праць. – 2002. – Вип. 40. – С. 231–236.
7. Сердюк А.А. Температурные и фрикционные характеристики дискового тормоза в условиях повышенного содержания пыли и влаги [Текст] / А.А. Сердюк, А.Г. Моня // Сб. науч. тр. НГУ. – 2003. – Т. 2, №17. – С. 246–250.
8. Моня А.Г. Интегрирование дифференциального уравнения теплопроводности для определения тепловой нагруженности дискового тормоза шахтного локомотива [Текст] / А.Г. Моня // Наук. віsn. НГУ. – 2012. – № 3. – С. 86–91.

*Рекомендовано до друку проф. Шкрабцем Ф.П.*

УДК 622.625.28

**B.B. Проців, д-р техн. наук**

(Україна, Дніпропетровськ, Державний ВНЗ «Національний гірничий університет»)

### ГАЛЬМУВАННЯ ШАХТНОГО ПОТЯГУ НА НЕБЕЗПЕЧНІЙ ДІЛЯНЦІ РЕЙКОВОЇ КОЛІЇ

**Вступ.** Істотне підвищення показників роботи транспорту на горизонтальних гірничих виробках шахт України, де головним є локомотивний, можливе, перш за все, за рахунок використання важких багатовісніх локомотивів, здатних надійно працювати на шахтній колії із суттєвою недосконалістю в плані та профілі. Для гальмування шахтних поїздів використовують колісно-колодкові, дискові осьові й трансмісійні, а також рейкові гальма (магнітні й гравітаційні), що встановлені на електровозі. Найперспективні-

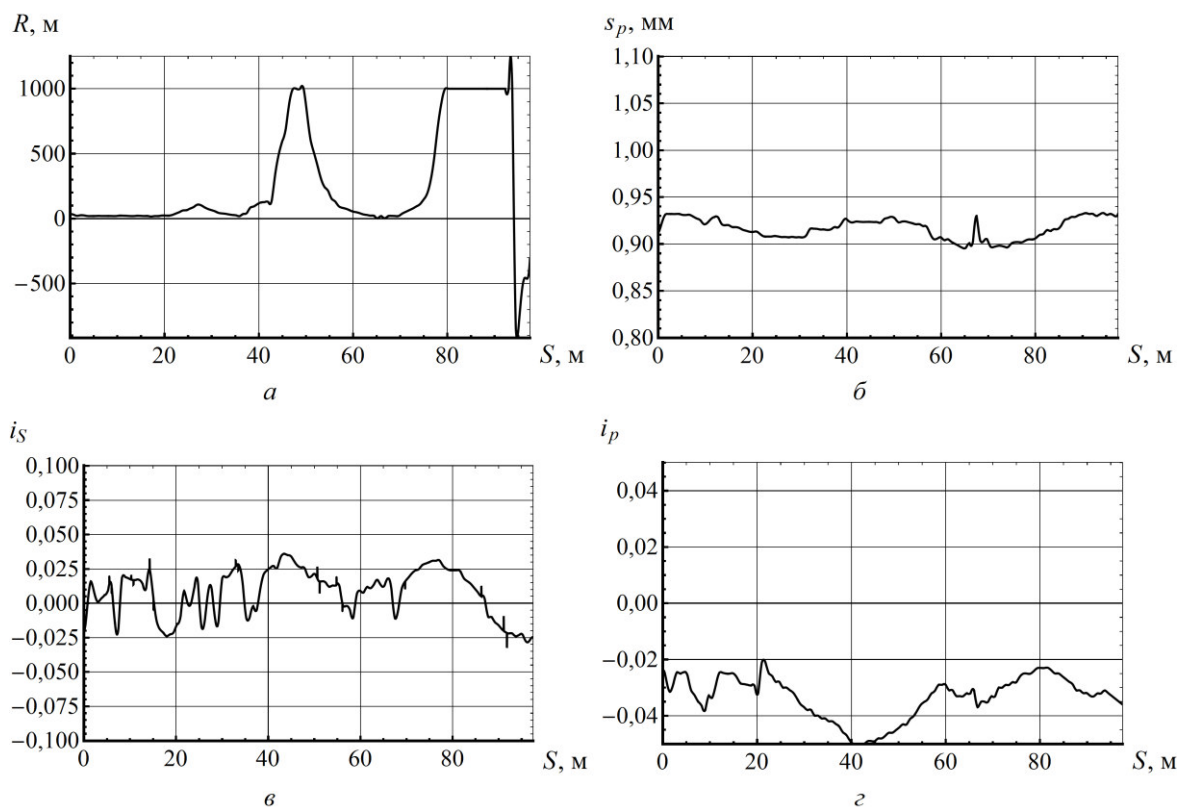
шим з існуючих нині шахтних локомотивів є шарнірно-зчленований електровоз Е10 [1], що оснащений усіма вище переліченими системами гальмування, а також має сучасну систему керування тяговими двигунами постійного току.

Небезпечними ділянками рейкової колії на вугільних шахтах України є порівняно недовгі спуски перед навколоствбурним двором, де шахтний потяг транспортує склад навантажених вагонеток. Такі ділянки найчастіше мають поздовжній ухил колії, що перевищує 35 %, а інколи й досягає дозволеної межі в 50 %. Але у разі потреби екстреного гальмування шахтний локомотив повинен зупинити потяг на межі, не перевищивши гальмівний шлях у 40 м, що обмежений [2].

**Метою** роботи є математичне моделювання процесу гальмування шахтного шарнірно-зчленованого електровоза Е10 із складом навантажених вагонеток на заздалегідь визначеній небезпечній ділянці із значним поздовжнім ухилом.

**Завдання** роботи – теоретичне визначення можливості гальмування на відрізку східного відкочувального штреку шахти «Тернівська» ДТЕК «Павлоградвугілля».

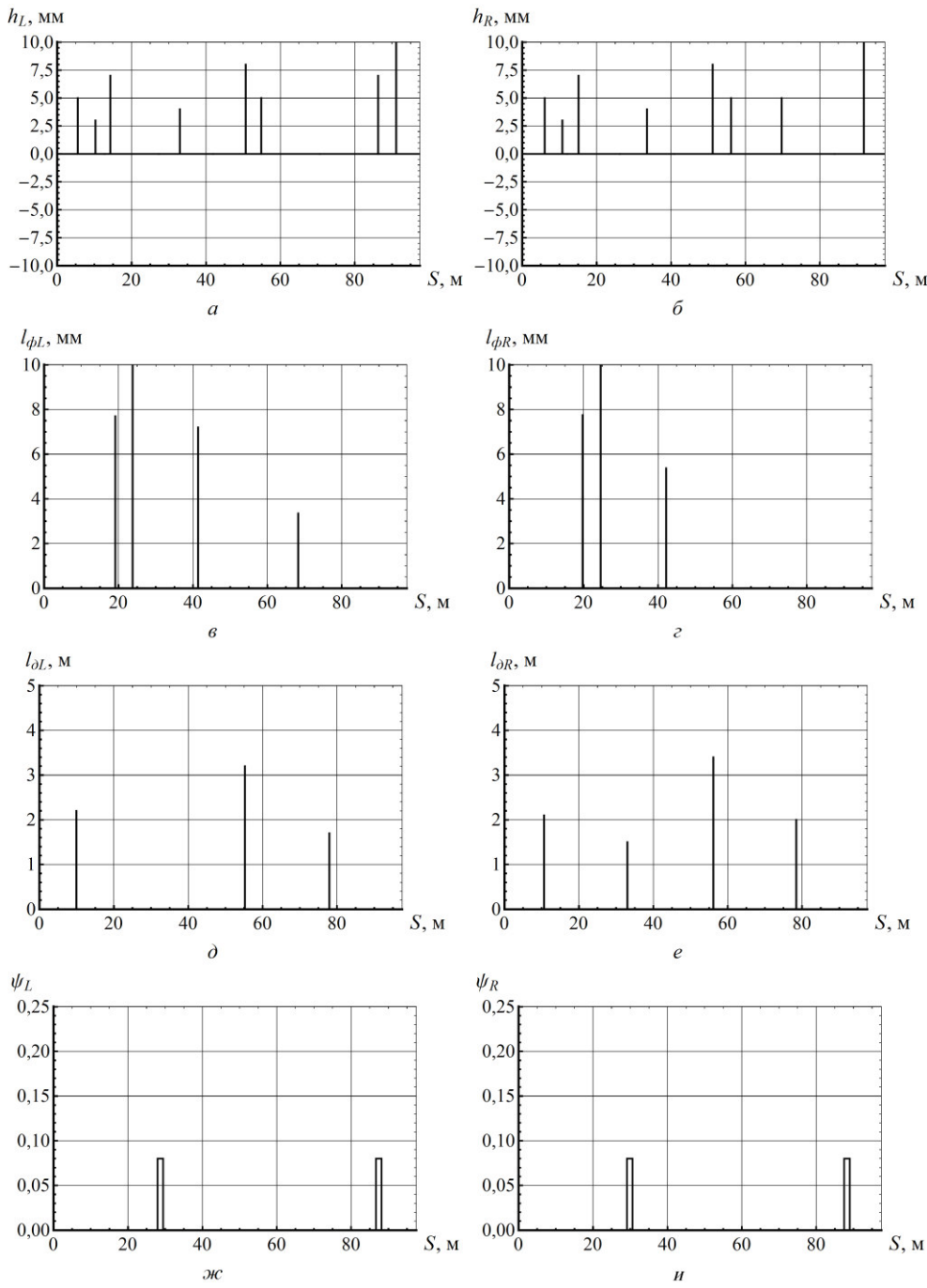
**Виклад матеріалу дослідження.** Повне уявлення про можливості шахтного локомотива транспортувати склад вагонеток можливо отримати тільки при моделюванні його руху по реальній ділянці шахтної рейкової колії з усіма її викривленнями в плані і профілі, а також з довгими і короткими, систематичними і локальними недосконалостями. Прикладом такої ділянки може бути стометровий відрізок східного відкочувального штреку шахти «Тернівська» ДТЕК «Павлоградвугілля». На рис. 1 наведені функції зміни радіуса  $R$  кривизни в плані (див. рис. 1,  $a$ ), ширини рейкової колії  $s_p$  (див. рис. 1,  $b$ ), поперечного ухилу рейкової колії  $i_s$  (див. рис. 1,  $c$ ), а також поздовжнього ухилу шляху  $i_p$  (див. рис. 1,  $d$ ) по довжині цієї ділянки колії.



**Рис. 1. Графіки змін параметрів викривлення в плані та профілі по довжині ділянки реальної шахтної рейкової колії**

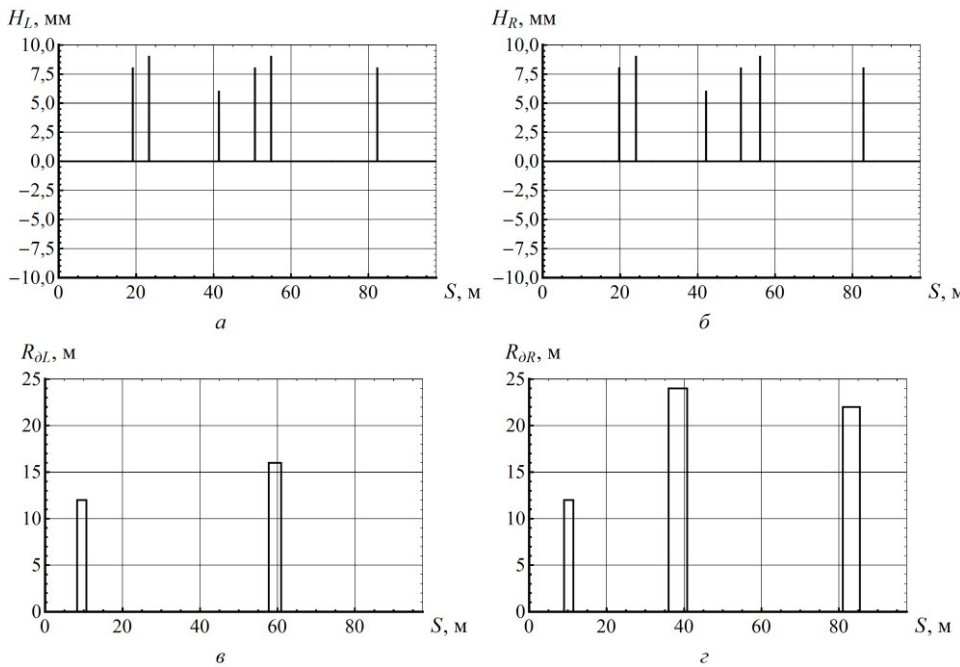
Зазначені функції отримані апроксимацією в програмному комплексі Wolfram Mathematica 8 вимірюваних в шахтних умовах (за методикою автора) геометричних параметрів шляху. Рейки чисті, тому приймають максимальне значення коефіцієнта зчеплення – 0,17.

Крім того, ділянка колії, яка розглядається, містить одиничні нерівності, які здатні викликати зрыв зчеплення коліс локомотива з рейками і спровокувати зменшення значень гальмівних сил при використанні колісно-колодкового, дискових осьового і трансмісійного гальм. Графіки розміщення таких нерівностей по довжині шляху, а також їх величини наведено на рис. 2.



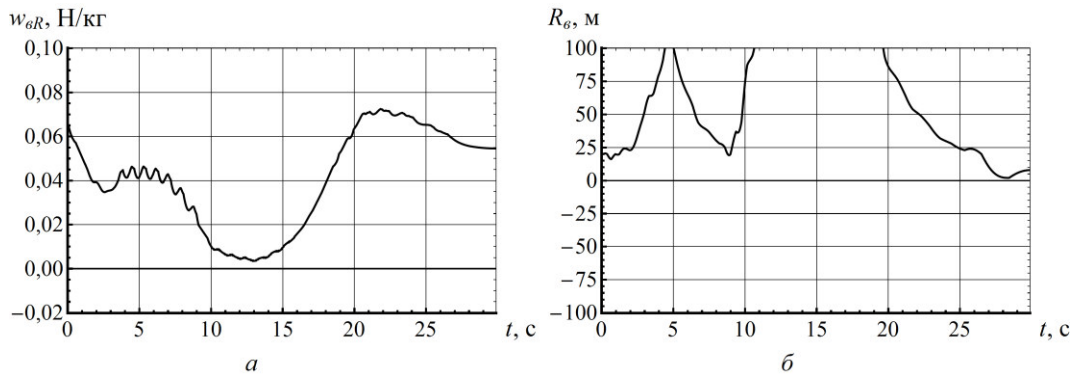
**Рис. 2. Графіки зміни параметрі одиничних нерівностей ділянки рейкової колії:**  
**a – сходинки рейкового стику на лівій рейці  $h_L$  ; б – сходинки рейкового стику на правій рейці  $h_R$  ;**  
**в – відстані між точками дотику рейок з колесом на лівій рейці  $l_{\phi L}$  ;**  
**г – відстані між точками дотику рейок з колесом на правій рейці  $l_{\phi R}$  ;**  
**д – довжини локального просідання на лівій рейці  $l_{\partial L}$  ;**  
**е – довжини локального просідання на правій рейці  $l_{\partial R}$  ;**  
**ж – зміни коефіцієнта зчеплення на лівій рейці  $\psi_L$  ;**  
**и – зміни коефіцієнта зчеплення на правій рейці  $\psi_R$  .**

Зазначені недосконалості на даній ділянці колії зустрічаються спільно і мають різні значення параметрів. Спостерігаються також недосконалості шляху, що впливають на величину гальмування локомотива магніторейковими і гравітаційними рейковими гальмами (див. рис. 3).



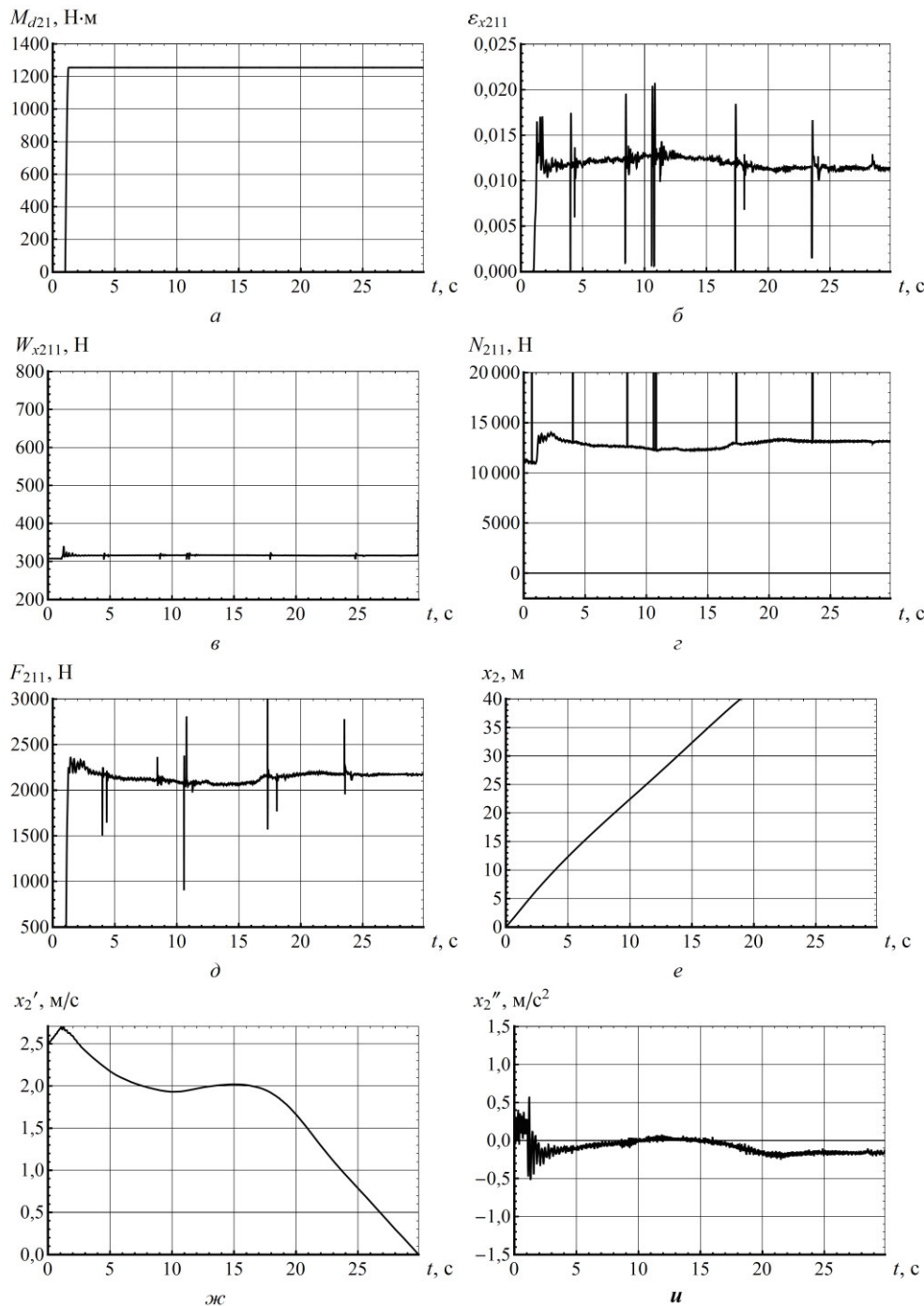
**Рис. 3. Графіки параметрів одиничних нерівностей ділянки рейкової колії, що впливають на гальмування рейковими гальмами:**  
**а – сходинки просідання кінців рейкового стику на лівій рейці  $H_L$ ;**  
**б – сходинки просідання кінців рейкового стику на правій рейці  $H_R$ ;**  
**в – радіуса локального прогину лівої рейкової нитки  $R_{DL}$ ;**  
**г – радіуса локального прогину правою рейкової нитки  $R_{DR}$**

На криволінійний рух шахтного потяга істотно впливає додатковий опір руху причіпної частини, тобто опір складу вагонеток, обумовлений через середній питомий опір завантаженої вагонетки залежно від радіуса шляху під нею в плані (див. рис. 4).



**Рис. 4. Графіки зміни середнього питомого опору руху  $w_{6R}$  завантаженої вагонетки ВГЗ, З (а)**  
**та середнього радіуса кривизни шляху під складом вагонеток від часу гальмування:  $R_6$  (б)**

З рис. 4 видно, що зі зменшенням радіуса кривизни шляху питомий опір ділянки кривої, що діє на вагонетку, збільшується і розглядається як гальмівна сила, що зупиняє шахтний потяг. Однак шарнірно-зчленений локомотив Е10 зі складом із семи навантажених вагонеток, що рухаються зі швидкістю 2,5 м/с, не зможе зупинитися на описаній раніше ділянці колії, що не перевищує допустимі 40 м [2], якщо гальмування виконується тільки дисковими осьовими гальмами з гальмівним моментом у 1255 Н·м. Дійсний гальмівний шлях складе 46,8 м, а займе це 28,6 с. Приблизно на сороковому метрі розглянутої ділянки поздовжній ухил рейкової колії (див. рис. 1, 2) різко зростає до максимального дозволеного значення – 50 %. Тому на рис. 5, ж із сьомої по п'ятнадцяту секунду утворився провал, тобто – швидкість не тільки не знижувалася, а й навіть зростала.

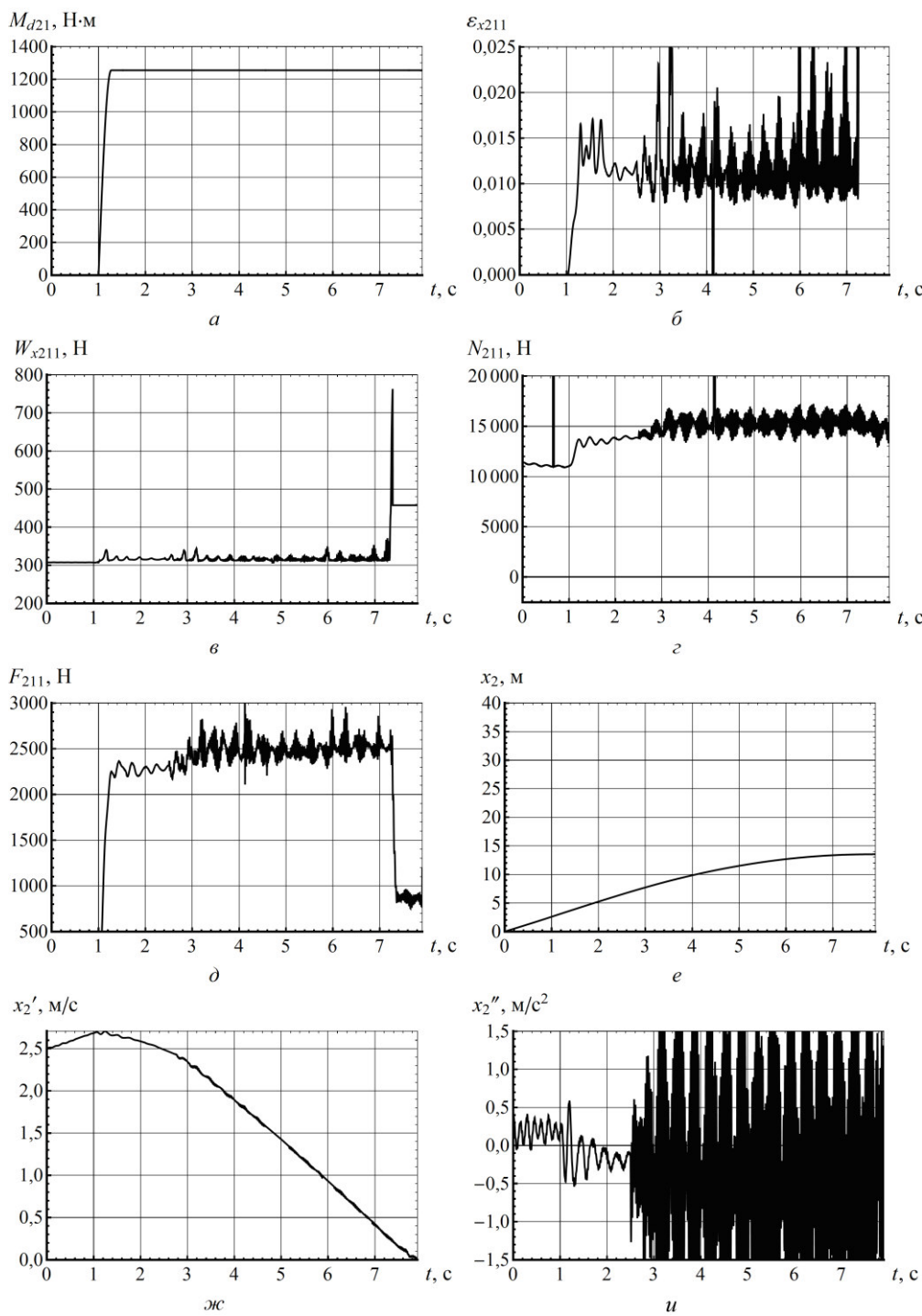


**Рис. 5.** Графіки зміни параметрів гальмування від часу на ділянці колії тільки дисковими осьовими гальмами: *a* – гальмівного моменту  $M_{d1}$  на дисковому трансмісійному гальмі другої тягової секції; *б* – відносного ковзання  $\varepsilon_{x211}$  лівого колеса першої колісної пари другої тягової секції; *в* – сили опору руху  $W_{x211}$  того ж колеса; *г* – реакції рейки  $N_{211}$  під тим самим колесом; *д* – гальмівної сили  $F_{211}$  на тому ж колесі; *е* – переміщення  $x_2$  тягової секції; *ж* – швидкості  $x_2'$  тягової секції; *и* – прискорення  $x_2''$  тягової секції

Це видно і на рис. 5, *и*, де прискорення тягової секції локомотива стало практично нульовим або навіть злегка позитивним. Численні нерівності колій викликали коливання відносного ковзання коліс локомотива (див. рис. 5, *б*) і вертикальних реакцій рейок під ними (див. рис. 5, *г*), що в свою чергу змінило діюче значення гальмівних сил (див. рис. 5, *д*).

Щоб зменшити гальмівний шлях необхідно збільшити гальмівні сили, що діють на потяг. Це можливо зробити, приклавши додатково до дискових осьових гальм, наприклад, магніторейкові. Якщо відра-

зу одночасно включити всі їхні 12 секцій, то можна домогтися зупинки через 10,2 м за 6,6 с дійсного гальмування. Характеристичні графіки цього процесу наведено на рис. 6 (параметри гальмування пристроями, що реалізовують гальмівну силу в точці дотику колеса з рейкою) і рис. 7 (параметри гальмування магніторейковими гальмами).

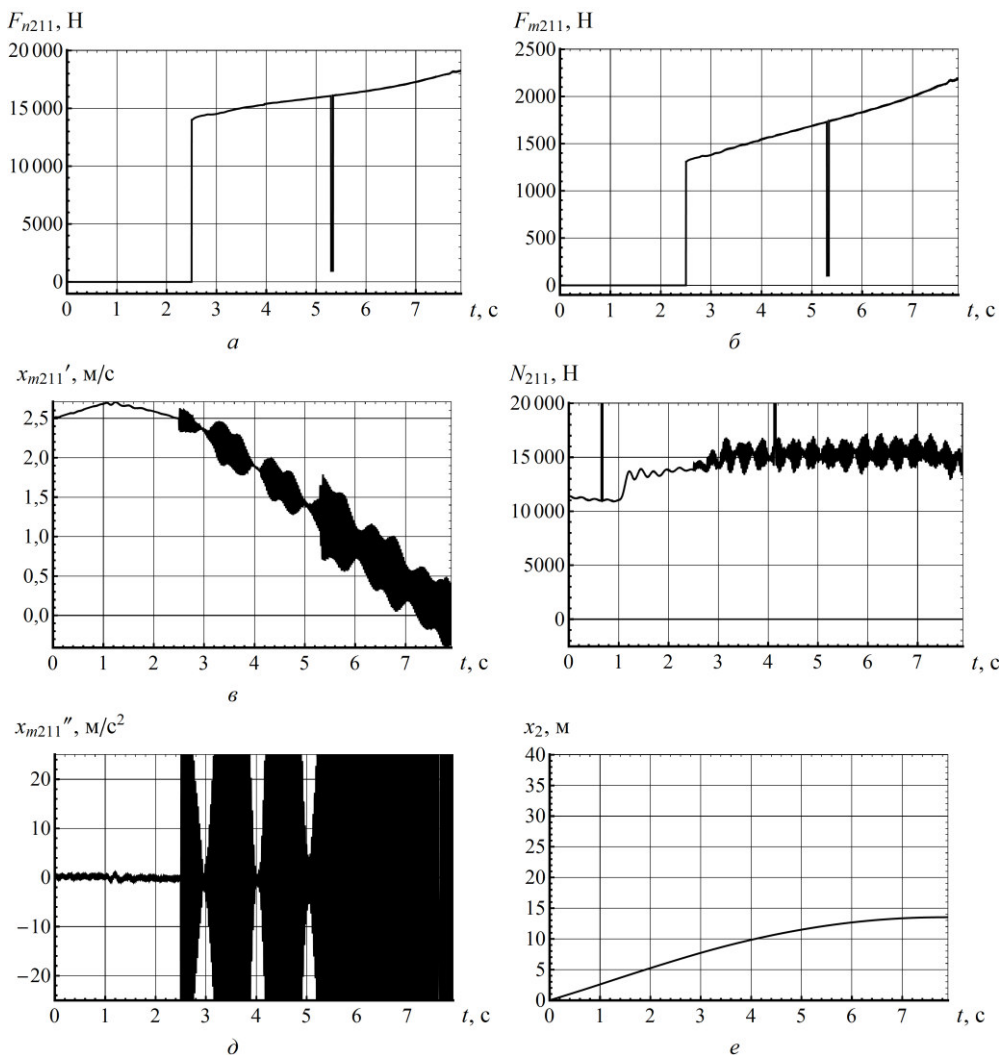


**Рис. 6. Графіки параметрів гальмування пристроями з обмеженим фрикційним моментом (спільно дисковими осьовими і магніторейковими гальмами) від часу на ділянці колії; тут прийняті такі ж позначення, як і на рис. 5**

Включення магніторейкових гальм суттєво змінює картину гальмування шахтного потяга. Відносне ковзання коліс (див. рис. 6, б) стає більш суттєвим з періодичним підвищеннем його значень більш ніж на 25 % аж до повного зриву зчеплення на восьмій секунді руху. Реакції рейок під колесами локомотива зростають завдяки ефекту довантаження магніторейкових гальм (наприклад, сила збільшилася з 1 300 до

1 500 Н, див. рис. 6, *г*). Тому гальмівна сила на цьому колесі зросла з 2 200 до 2 500 Н (див. рис. 6, *д*). Швидкість зупинювання потяга (див. рис. 6, *ж*) змінюється із сіпаннями, які обумовлені значними знакозмінними коливаннями поздовжнього прискорення (уповільнення) тягових секцій локомотива (див. рис. 6, *и*).

Використання первинного заліза як матеріалу для виготовлення елементів магнітної системи і по-люсних наконечників магніторейкових гальм підвищило діюче значення коефіцієнта тертя ковзання по доріжці катання рейки. Це дозволяє отримувати більшу силу тертя, що реалізується секцією магніторейкового гальма (див. рис. 7, *б*), тобто уразі необхідності зупинки потяга на регламентованому гальмівному шляху достатньо було б включити тільки дві пари секцій (усього чотири з 12) магніторейкового гальма локомотива Е10. На цьому електровозі може бути також розміщена система контролю юза та буксування [4], що значно підвищує його тягово-гальмівні можливості.



**Рис. 7. Графіки зміни параметрів гальмування рейковими гальмами (спільно дисковими осьовими і магніторейковими гальмами) від часу на ділянці колії:**  
*а* – сили магнітного притягання  $F_{n211}$ ; *б* – гальмівної сили  $F_{m211}$ ;  
*в* – швидкості гальмівний секції  $x'_{m211}$ ; *г* – реакції рейки під колесом  $N_{211}$ ;  
*д* – прискорення гальмівної секції  $x''_{m211}$ ; *е* – переміщення тягової секції  $x_{211}$

Якби гальмівні розрахунки виконувалися за традиційною методикою, як для локомотива, що не має пристрою контролю юза і буксування, то слід було б закладати мінімально можливе значення коефіцієнта зчеплення, яке може виявитися на шляху локомотива, щоб не викликати зрив зчеплення і вкрай небажане блокування коліс гальмівними пристроями. У цьому разі, враховуючи місцеві забруднення вологим вугільно-породним брудом, потрібно було б прийняти коефіцієнт зчеплення – 0,08. Однак тоді потяг із сімома вагонетками зупинити взагалі неможливо. Тільки склад з трьох вагонеток, що рухаються зі швид-

кістю 1 м/с, при гальмуванні осьовими дисковими гальмами (гальмівний момент 675 Н·м) зможе вкласитися в нормативний гальмівний шлях (дійсний гальмівний шлях склав 36,7 м за 38,6 с). Але з використанням усіх секцій магніторейкового гальма можна зупинити і потяг з п'яти вагонеток, що рухаються зі швидкістю 2,5 м/с на вказаній ділянці шляху.

**Висновки.** Сумісне використання на шахтному локомотиві гальм, що реалізують гальмівну силу у точці контакту колеса і рейки з рейковими гальмами дозволяє значно скоротити гальмівний шлях потягу у разі потреби екстреного гальмування.

Порівняльні розрахунки електровоза Е10 з акумуляторним АРВ10ГЕ і контактним К10, при гальмуванні тільки наявними на них колісно-колодковими гальмами, дають перевагу локомотивам Е10 за гальмівними характеристиками більш ніж у 3 рази.

### Список літератури

1. Проців В. В. Моделювання гальмування шахтного локомотива гальмівними пристроями з обмеженим фрикційним моментом на колесі / В. В. Проців, О. С. Гончар // Форум гірників – 2010: матеріали міжнар. конфер. – Д., 2010. – С. 39 – 48.
2. Транспорт шахтний локомотивний. Перевезення людей і вантажів у виробках з ухилом колії від 0,005 до 0,050: СОУ 10.1.001.85790.007:2006. – Затв. Мивуглепромом України 06.10.2006. – Вид. офіц. – К., 2006. – 47 с.
3. Волотковський С. А. Рудничная электровозная тяга / С. А. Волотковский. – М.: Недра, 1981. – 392 с.
4. Проців В. В. Застосування системи автоматичного контролю юза та буксування на шахтному шарнірно-зчленованому локомотиві / В. В. Проців, О. С. Гончар // Гірнича електромеханіка та автоматика : наук.-техн. зб. – 2010. – Вип. 84. – С. 116 – 125.

*Рекомендовано до друку проф. Блохіним С.Є.*

УДК 621.313.333.001

**В.М. Безрученко, А.В. Шаповалов, канд-ти тех. наук, Б.О. Гарцев**

(Україна, Дніпропетровськ, Дніпропетровський національний університет залізничного транспорту ім. акад. В. Лазаряна)

## ТЕПЛОВІ ПАРАМЕТРИ АСИНХРОННИХ ТЯГОВИХ ДВИГУНІВ

Теорія нагріву розглядає електричну машину як однорідне тверде тіло, для якого відоме рівняння [1] набуває вигляду:

$$\sum p \cdot dt - A \cdot \tau \cdot dt = C \cdot d\tau, \quad (1)$$

де  $A$  – кількість тепла, що виділяє машина в оточуюче середовище за одиницю часу при різниці температур у  $1^{\circ}\text{C}$ ;  $C$  – повна теплоємність двигуна;  $\sum p$  – сумарні втрати потужності у двигуні (тепловий потік);  $\tau$  – перегрів, тобто перевищення температури тіла над температурою охолоджуючого повітря.

З рівняння (1) випливає, що коли  $d\tau = 0$ , то кінцевий перегрів визначається як

$$\tau_{\text{кн.}} = \frac{\sum p}{A}. \quad (2)$$

Як відомо, при кваліфікаційних випробуваннях визначають перегрів при різній витраті охолоджуваного повітря, але при однаковому навантаженні на валу двигуна. Очевидно, у цьому разі сумарні втрати повітря  $\sum p = \text{const}$ , а величина тепловіддачі згідно з рівняння (2) буде обернено пропорційна перегріву, тобто

$$A \sim \frac{1}{\tau_{\text{кн.}}}. \quad (3)$$

Аналіз таких рівнянь для тягових двигунів постійного струму був зроблений у роботі [2], у результаті чого було побудовано графік залежності тепловіддачі  $A$  у відносних одиницях від кількості охоло-